RESISTANCE DES MATERIAUX

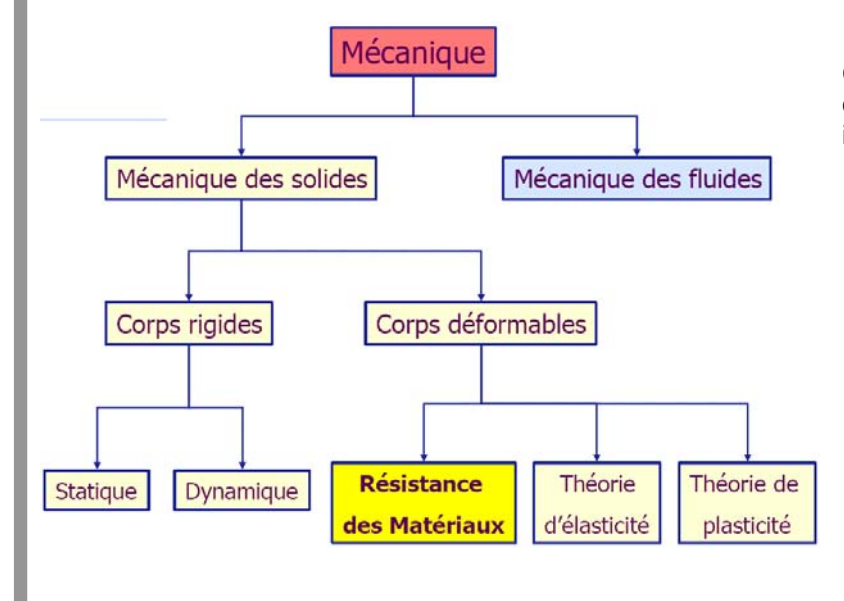
Référence au programme 4- Résistance de matériaux. 4-1 Hypothèses de la RDM 4-2 Etude d'une poutre 4-3 Identification de la nature des sollicitations 4-4 Etude des sollicitations simples 1- Objectifs de la séquence: Définir les efforts de cohésion, Définir la nature de sollicitations simples, Définir la démarche de dimensionnement, Modéliser les efforts de cohésion. 2- Situation pédagogique: prérequis Modélisation des AM. Connaissances visées Modélisation des efforts de cohésion.

Acquisition de connaissances.

Modéliser les actions subies par le système.

1- A quoi ça sert?

La Résistance Des Matériaux (RDM) permet de déterminer les formes, les dimensions et les matériaux de pièces mécaniques de façon à maîtriser leur résistance et leur déformation afin de répondre aux exigences du cahier des charges.



Cette science met en relation la statique, la cinématique (déformation) et les caractéristiques intrinsèques du matériau.

Lycée Jean JAURES ARGENTEUIL

RESISTANCE DES MATERIAUX

Contenu du Dossier : 8 pages

2- Hypothèses.

2-1- Matériaux.

Les matériaux seront considérés comme :

- continus: la structure fibreuse ou moléculaire des matériaux étant très petite devant les dimensions des pièces étudiées, on peut alors considérer le matériau comme continu.
- homogènes : on dit qu'un matériau est homogène, s'il possède les mêmes caractéristiques en tous ses points (hypothèse grossière pour des matériaux tels que le bois ou le béton).
- isotropes: on dit qu'un matériau est isotrope, lorsqu'il possède les mêmes caractéristiques dans toutes les directions (hypothèse non applicable pour des matériaux tels que le bois ou les matériaux composites).

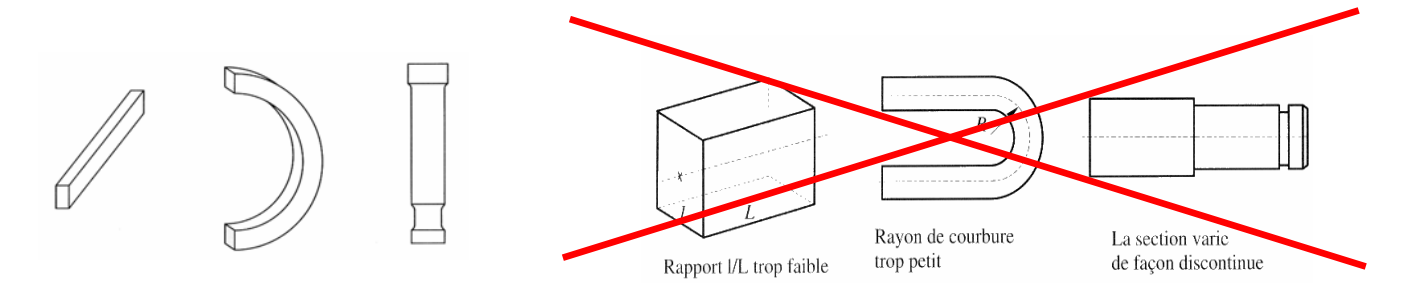
2-2- Géométrie des pièces étudiées.

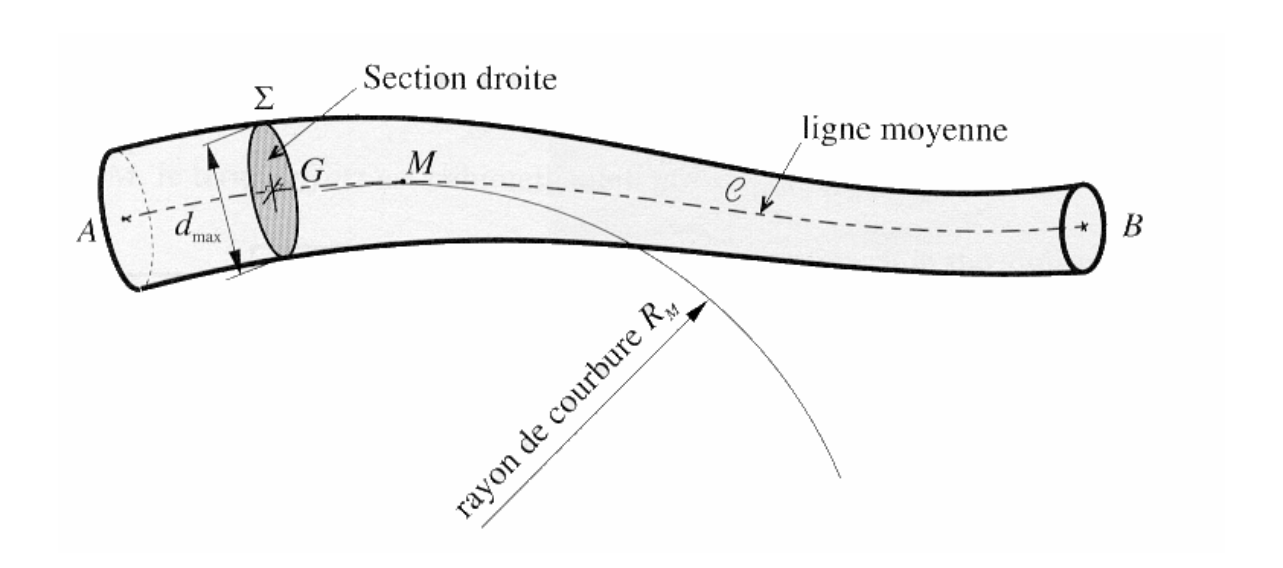
La RDM est l'étude de pièces dont les formes sont relativement simples. On les appelle des **poutres**.

poutre : on appelle poutre un solide engendré par une surface plane (Σ) dont le centre de surface G décrit une courbe plane (C) appelée ligne moyenne.

Les caractéristiques d'une poutre sont :

- ligne moyenne droite ou à grand rayon de courbure,
- surface plane (Σ) constante ou variant progressivement,
- grande longueur par rapport aux dimensions transversales,
- existence d'un plan de symétrie.





Page 2 / 10

B.PEREZ

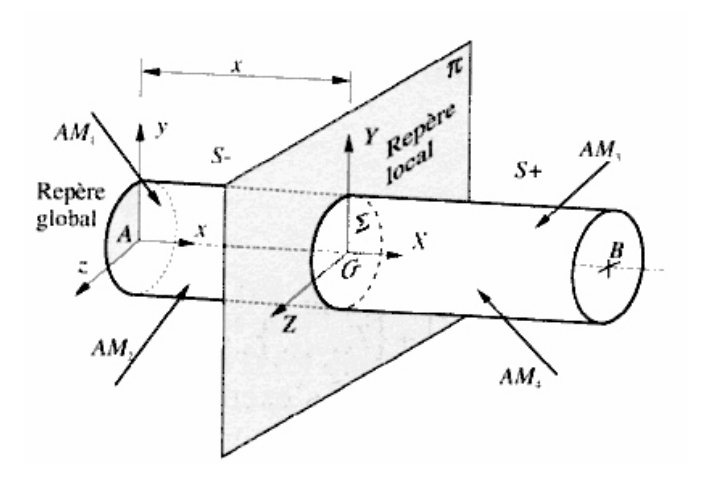
3- Torseur des efforts de cohésion.

3-1- Définition :

Soit une poutre (S) en équilibre sous l'action de n actions mécaniques extérieures. On associe à

cette poutre un repère R (b,c,d) dont l'axe b coïncide avec la ligne moyenne de la poutre.

Coupons la poutre (S) par un plan (π) orthogonal à sa ligne moyenne, situé à l'abscisse x. On définit ainsi deux portions de poutre (S-) et (S+).



(S) étant en équilibre, nous pouvons écrire : $\{\overline{S} \to S\} = \{0\}$

(S-) étant en équilibre, nous pouvons écrire : $\{\overline{S} \to S_{-}\} + \{S_{+} \to S_{-}\} = \{0\}$

(S+) étant en équilibre, nous pouvons écrire : $\{\overline{S} \to S_+\} + \{S_- \to S_+\} = \{0\}$

On en déduit que :

$$\left\{\left.\left\{\right.S_{_{+}}\rightarrow S_{_{-}}\right\}=-\left\{\overline{S}\rightarrow S_{_{-}}\right\}=\left\{\overline{S}\rightarrow S_{_{+}}\right\}$$

 $\{S_+ \to S_-\}$ est le torseur qui traduit l'action de contact de (S+) sur (S-). Cette action est due aux efforts de cohésion qui permettent à la poutre de ne pas se "disloquer" sous l'effet d'actions extérieures.

La RDM vise en particulier à vérifier qu'en aucun point de la poutre les efforts de cohésion à "transmettre" ne soient supérieurs aux capacités du matériau.

On note:

$$\overline{\left\{ \left\{ \mathsf{T}_{\mathsf{coh}} \right\} = - \left\{ \overline{\mathsf{S}} \to \mathsf{S}_{\scriptscriptstyle{-}} \right\} = \left\{ \overline{\mathsf{S}} \to \mathsf{S}_{\scriptscriptstyle{+}} \right\} }$$

3-2- Composantes du torseur de cohésion :

La résultante et le moment du torseur de cohésion dépendent alors de la position de la coupure et donc de l'abscisse x.

$$G \left\{ T_{coh} \right\} = \begin{cases} \vec{R}(x) \\ \vec{M}_{G}(x) \end{cases}_{R}$$

$$G_{G} \left\{ T_{coh} \right\} = \begin{cases} N(x) & M_{t}(x) \\ T_{y}(x) & M_{fy}(x) \\ T_{z}(x) & M_{fz}(x) \end{cases}_{R}$$

Composantes	Dénominations	Sollicitations	
N	Effort normal	Traction - compression	
T _y	Effort tranchant sur c	Cisaillement	
T _z	Effort tranchant sur d	Cisalilettietti	
M_t	Moment de torsion	Torsion	
M_{fy}	Moment fléchissant sur c	Flexion	
M_{fz}	Moment fléchissant sur d	I IEXIOII	

Remarques:

- Les différentes sollicitations dépendant de l'abscisse x, nous pouvons les représenter graphiquement à l'aide de diagrammes.
- Lorsque l'on a une seule de ces sollicitation on parle de sollicitation simple, sinon on parle de sollicitations composées.

Hypothèses et sollicitations simples

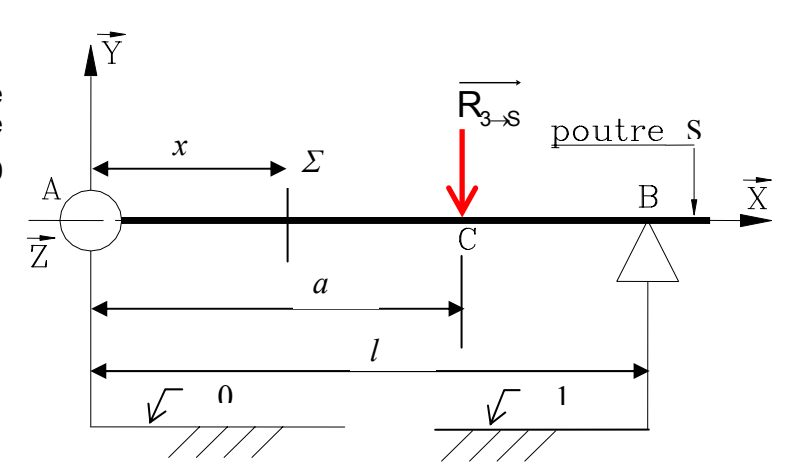
B.PEREZ Résistance Des Matériaux Version 02

3-3- Exemple d'application :

Soit une poutre cylindrique, de 200 mm de long et de 5 mm de diamètre, soumise à une action mécanique modélisable par un glisseur avec $\overrightarrow{R_{3\rightarrow E}}$ d'intensité 100 daN.

$$\overrightarrow{AC} = a \cdot \vec{x}$$
; $a = 150 \text{ mm}$
 $\overrightarrow{AB} = l \cdot \vec{x}$; $l = 200 \text{ mm}$

L'étude s'effectuera dans la plan de symétrie (b, c).



Objectif: déterminer le torseur de cohésion en fonction de x et tracer les diagrammes représentants les efforts de cohésion.

Détermination des actions mécaniques en A et en B.

Isolons (S).

Bilan des Actions Mécaniques Extérieures.

PFS appliqué à (S) en A.

Conclusion.

Détermination du torseur de cohésion.

Il faut étudier chaque portion de poutre comprise entre deux noeuds.

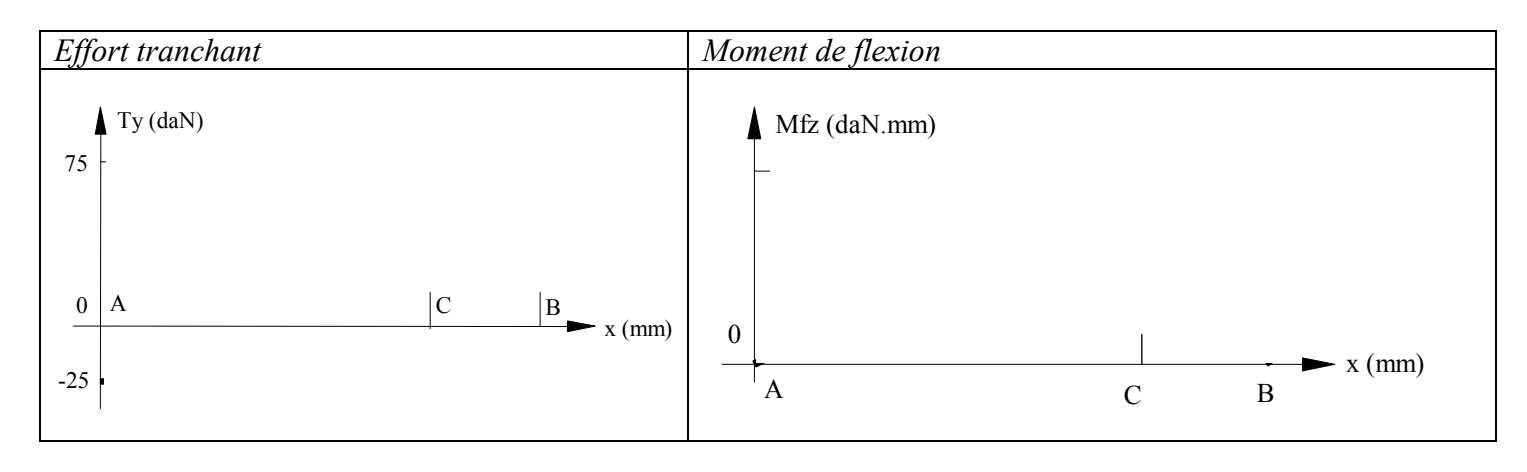
• Pour x∈[0 ; a].

• Pour x∈[a; l].

Récapitulatif et diagrammes.

Sollicitation	0 <x<a< th=""><th>a<x<l< th=""></x<l<></th></x<a<>	a <x<l< th=""></x<l<>
N	0	0
Ty	-25	75
Tz	0	0
Mt	0	0
Mfy	0	0
Mfz	25.x	75(l-x)

Tracer ci-dessous les diagrammes représentants l'effort tranchant et le moment de flexion.



4- Les différents types de sollicitation.

Traction ou Extension / Compression	- F F F	$_{GS}\{T_{coh}\}_{R}=egin{bmatrix} N & 0 \ 0 & 0 \ 0 & 0 \ \end{bmatrix}_{R}$
Cisaillement	\vec{F}	$_{Gs}\left\{T_{coh}\right\}_{R}=\left\{egin{matrix}0&0\Ty&0\Tz&0\end{matrix}\right\}_{R}$
Torsion	- M - M	${}_{GS}\left\{T_{coh}\right\}_{R} = \left\{\begin{matrix} 0 & Mt \\ 0 & 0 \\ 0 & 0 \end{matrix}\right\}_{R}$
Flexion pure	-M y M	$_{Gs}\left\{ T_{coh}\right\} _{R}=\left\{ egin{matrix} 0 & 0 \ 0 & 0 \ 0 & Mfz \end{matrix} ight\} _{R}$
Flexion simple	1 1 1 1	$_{GS}\left\{T_{coh}\right\}_{R}=\left\{egin{array}{cc} 0 & 0 \ Ty & 0 \ 0 & Mfz \end{array} ight\}_{R}$
Flexion + traction	<i>y x t t t t t t t t t t</i>	$_{GS}\left\{ T_{Coh}\right\} _{R}=\left\{ egin{matrix} N & 0 \ Ty & 0 \ 0 & Mfz \end{matrix} ight\} _{R}$
Flexion + torsion	$\begin{array}{c c} -M & \downarrow & \downarrow & \chi \\ \hline +M & \downarrow & \downarrow & \downarrow & \chi \\ \hline +M & \downarrow & \downarrow & \downarrow & \chi \\ \end{array}$	$_{GS}\left\{T_{coh}\right\}_{R}=\left\{egin{array}{cc} 0 & Mt \\ Ty & 0 \\ 0 & Mfz \end{array} ight\}_{R}$
Flambage	\vec{F}	$_{G_S}\!\left\{\!T_{\!coh}\! ight\}_{\!R}\!\!=\!\!egin{array}{ccc} N & 0 \ 0 & 0 \ 0 & M\!f\!z \end{array}\!\!igg _{\!R}$
Flexion déviée	plan (x,y)	$_{GS}\{T_{coh}\}_{R}=egin{pmatrix} 0 & 0 \ Ty & 0 \ 0 & Mfz \end{pmatrix}_{R}$ $_{GS}\{T_{coh}\}_{R}=egin{pmatrix} 0 & 0 \ 0 & Mfy \ Tz & 0 \end{pmatrix}_{R}$

B.PEREZ

Résistance Des Matériaux

5- Contrainte en un point M d'une section Σ.

La contrainte caractérise les liaisons mécaniques internes au matériau (représentées par le torseur de cohésion $_{Gs}\{T_{coh}\}_{R}$) sur chaque élément de surface $d\Sigma$ de la section Σ quelconque. La détermination des contraintes nous permettra le dimensionnement des pièces mécaniques étudiées.

Unité: le N/mm² soit le Mpa

Rappel: 1 Mpa = 10⁶ Pa = 1 N/mm² = environ 10 bars

5-1- Définition.

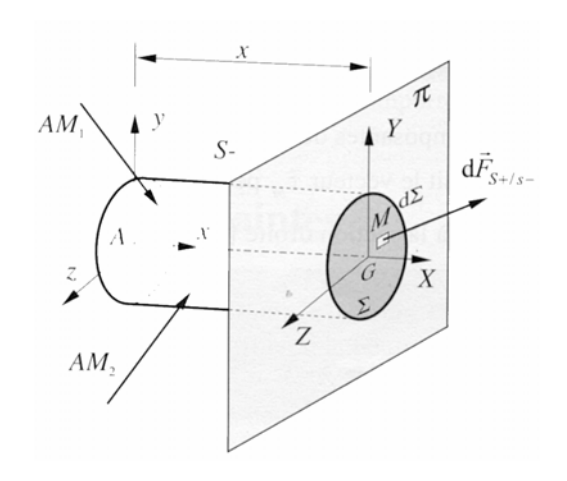
Le vecteur contrainte \vec{C} est le rapport entre l'action mécanique $d\vec{F}$, qui s'exerce sur l'élément de surface $d\Sigma$ de la section Σ , sur la surface $d\Sigma$.

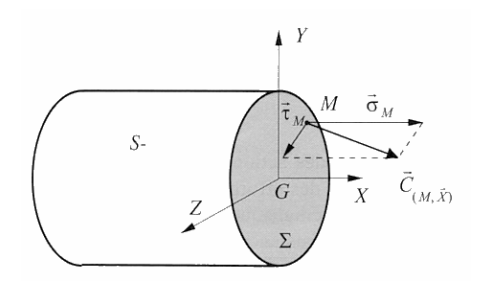
$$\vec{C} = \frac{d\vec{F}}{d\Sigma} = \sigma_{\text{M}}.\vec{x} + \overrightarrow{\tau_{\text{M}}}$$

σ: contrainte normale

 $| \tau_{\rm M} :$ contrainte tangentielle

$$\vec{C} = \frac{d\vec{F}}{d\Sigma} = \sigma_{\text{M}}.\vec{x} + \tau_{\text{y}}.\vec{y} + \tau_{\text{z}}.\vec{z}$$

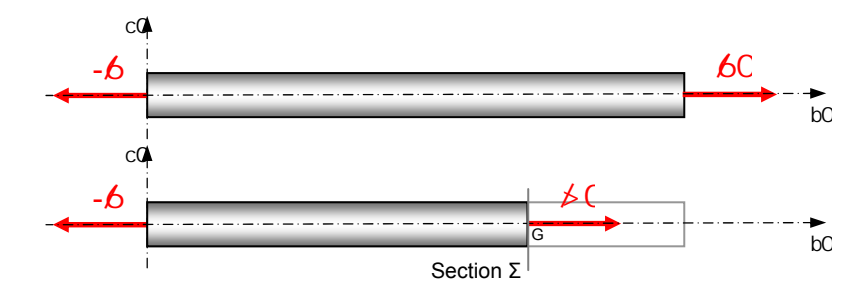


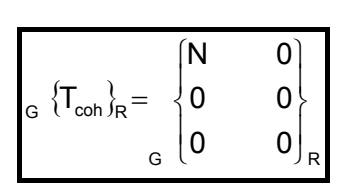


5-2- Détermination des contraintes suivant le type de sollicitation.

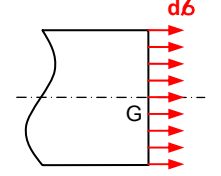
TRACTION

Définition :





Contrainte normale:



Chaque élément de surface $\Delta\Sigma$ supporte un effort de traction d δ parallèle à la ligne moyenne. Il y a répartition uniforme des contraintes dans la section droite. D'où :

 σ : contrainte normale en Mpa ou en N/mm 2

N : effort normal en N

Résistance Des Matériaux

S: aire de la section droite en mm²

Condition de résistance :

- Re la résistance élastique du matériau (en Mpa) ;
- s un coefficient de sécurité (s>1);
- R_{pe} la résistance pratique à l'extension, avec $R_{pe} = \frac{R_e}{\hat{c}}$;

Alors, la condition de résistance s'écrit :

$$\sigma \leq R_{pe}$$

Hypothèses et sollicitations simples

B.PEREZ

Version 02

Phénomène de concentration de contrainte.

Lorsque les poutres étudiées présentent de brusques variations de sections (trous, gorges, épaulements...), la relation $\sigma = \frac{N}{S} \text{ n'est plus applicable. En effet, au voisinage du changement de section, la répartition des contraintes n'est plus$

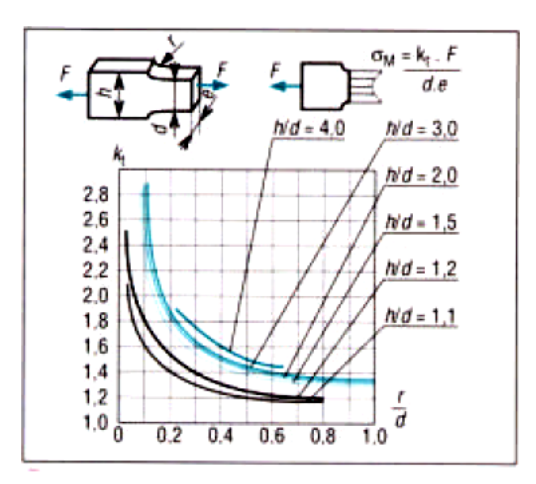
uniforme et présente des extremums. Le maximum est atteint pour les points situés à proximité des variations : on dit qu'il y a *concentration de contraintes* en ces points. La valeur de la contrainte est alors donnée par :

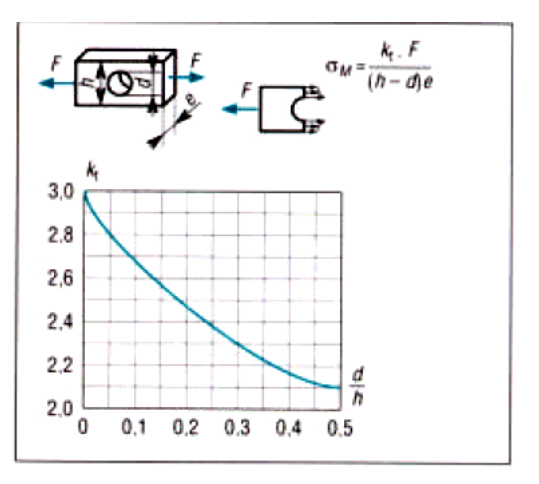
$$\sigma_{\text{max}} = \boldsymbol{K}_t \cdot \boldsymbol{\sigma}_0$$

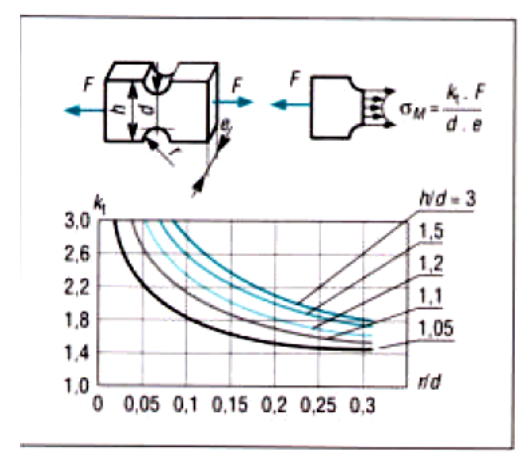
avec

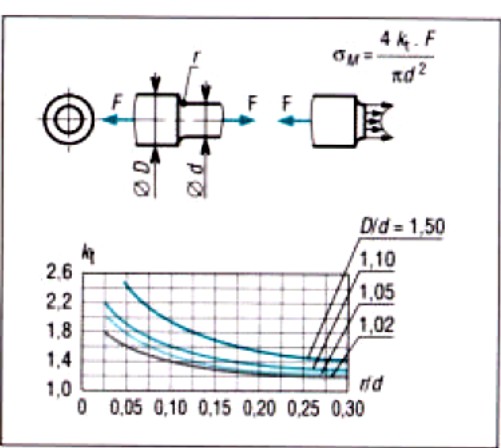
$$\sigma_0 = \frac{N}{S}$$

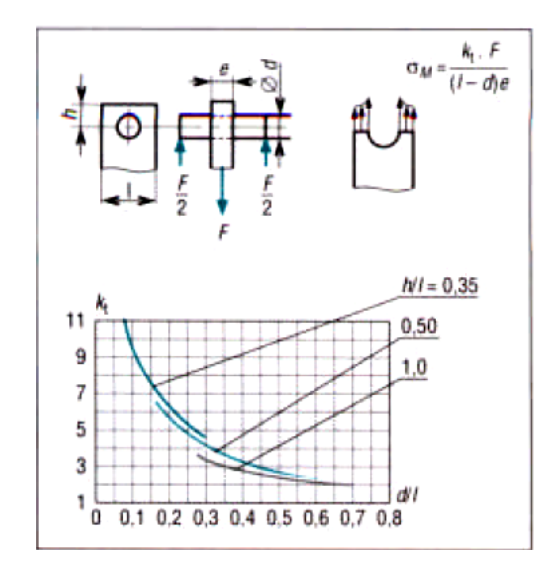
K_t est appelé le coefficient de concentration de contraintes. K_t dépend de la forme de la section et du type de la variation (voir tableaux suivants).

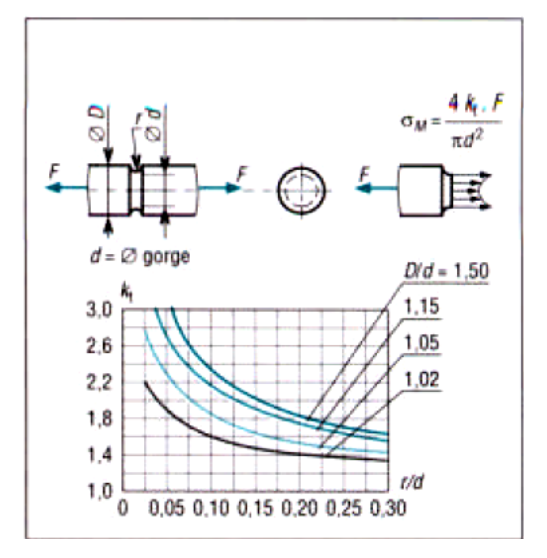






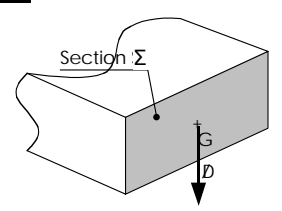






CISAILLEMENT

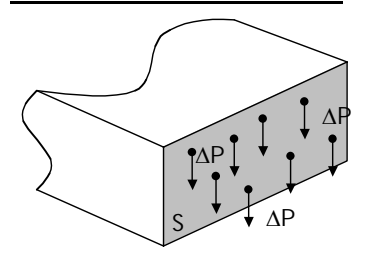
Définition:



$$_{G}\left\{ T_{coh}\right\} _{R}=\left\{ \begin{matrix} 0 & & 0\\ Ty & & 0\\ Tz & & 0 \end{matrix} \right\} _{R}$$

Dans nos problèmes, nous aurons souvent soit $T_v=0$ ou soit $T_z=0$.

Contrainte de cisaillement :



Chaque élément de surface $\Delta\Sigma$ supporte un effort de cisaillement Δ Pcontenu dans le plan

Il y a répartition uniforme des contraintes dans la section droite. D'où :

τ : contrainte tangentielle en Mpa ou N/mm²

 $\overrightarrow{T}\,$: effort tranchant en N S : aire de la section droite cisaillée en mm²

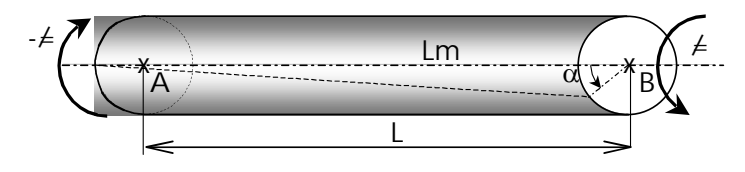
Condition de résistance :

- R_{eg} la résistance élastique au cisaillement du matériau (en Mpa) ;
- s un coefficient de sécurité ;
- au_{adm} = R_{pg} la résistance pratique au cisaillement, avec $au_{adm} = R_{pg} = \frac{R_{eg}}{c}$;

Alors, la condition de résistance s'écrit :

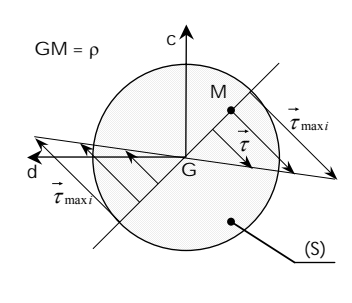
TORSION()

Définition :



$$_{G} \{T_{coh}\}_{R} = \begin{cases} 0 & Mt \\ 0 & 0 \\ 0 & 0 \end{cases}_{R}$$

Contrainte tangentielle :



$$\tau = \frac{M_t \cdot \rho}{I_G}$$

M_t: Moment de torsion en N.mm

 $\boldsymbol{\rho}$: rayon GM en mm

 I_{G} : moment quadratique de la section Σ par rapport au

Tableau des moments quadratiques des sections les plus courantes.			
dO G b	dO G	dO G	do co d
$I_G = \frac{bh}{12}(b^2 + h^2)$	$I_{G} = \frac{a^4}{6}$	$I_{G} = \frac{\pi d^4}{32}$	$I_G = \frac{\pi}{32}(D^4 - d^4)$

Condition de résistance :

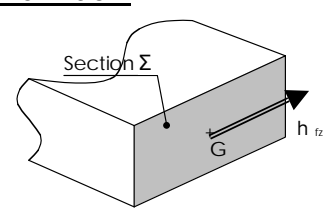
- R_{eg} la résistance élastique au cisaillement du matériau (en Mpa) ;
- s un coefficient de sécurité ;
- R_{pg} la résistance pratique au cisaillement, avec $R_{pg} = \frac{R_{eg}}{r}$;

Alors, la condition de résistance s'écrit :

 $i_{max} \leq OR_{pg}$

FLEXION PUREO

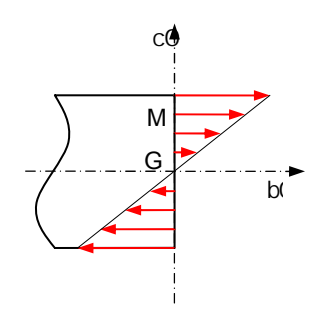
Définition :



$$_{G}\left\{ T_{coh}\right\} _{R}=\left\{ \begin{matrix} 0 & & 0 \\ 0 & & Mfy \\ 0 & & Mfz \end{matrix} \right\} _{R}$$

Dans nos problèmes nous aurons souvent M_{fv} ou M_{fz} nul.

Contrainte normale:



$$\sigma = \frac{M_{fz}}{\frac{I_{Gz}}{y}}$$

 σ : contrainte normale en Mpa M_{fz} : Moment fléchissant en N.mm y : ordonnée du point M en mm

y : ordonnée du point M en mm I_{Gz} : moment quadratique de la section par rapport à l'axe (G, d) en mm⁴

Tableau des moments quadratiques des sections les plus courantes.				
dO G b	dO G	dO G	do co d	
$I_{Gz} = \frac{bh^3}{12}$	$I_{Gz} = \frac{a^4}{12}$	$I_{Gz} = \frac{\pi d^4}{64}$	$I_{Gz} = \frac{\pi}{64} (D^4 - d^4)$	

Condition de résistance :

- Re la résistance élastique du matériau (en Mpa) ;
- s un coefficient de sécurité (s>1);
- R_{pe} la résistance pratique à l'extension, avec $R_{pe} = \frac{R_e}{S}$;

Alors, la condition de résistance s'écrit :

 $\sigma_{max} \leq R_{pe}$

Notions sur les coefficients de sécurité

Pour qu'une structure (machine, véhicule...) puisse supporter en toute sécurité les charges qui normalement la sollicitent, il suffit qu'elle puisse résister à des charges plus élevées. La capacité à supporter ces charges constitue la résistance de la structure. Le coefficient de sécurité s est

$$s = \frac{charge\ admissible}{charges\ exercées} = \frac{r\acute{e}sistance\ r\acute{e}elle}{r\acute{e}sistance\ n\acute{e}c\acute{e}ssaire}$$

La sécurité est obtenu si, sous charge

- les déformations du matériau restent élastiques
- la rupture du matériau n'est pas atteinte

donc

$$s = \frac{Re}{Rp} = \frac{r\acute{e}sistance \, \acute{e}lastique}{r\acute{e}sistance \, pratique} \qquad \text{ou} \qquad s = \frac{Rr}{Rp} = \frac{r\acute{e}sistance \, \grave{a} \, la \, rupture}{r\acute{e}sistance \, pratique}$$